

## РЕАЛИЗАЦИЯ ОГРАНИЧЕННОЙ ОБРАТНОЙ СВЯЗИ В НЕЛИНЕЙНОЙ ЗАДАЧЕ РЕГУЛИРОВАНИЯ

**Ключевые слова:** нелинейная задача регулирования, задача оптимального управления, стабилизирующая обратная связь.

### ВВЕДЕНИЕ

Известно, что задача регулирования системой состоит в построении управления типа обратной связи, которое переводит систему из одного состояния равновесия в другое и стабилизирует ее относительно нового состояния [1]. В работах [2–8] исследовалась первая часть этой задачи (перевод системы из одного состояния в другое) и вторая ее часть (стабилизация системы в новом положении равновесия). Цель настоящей статьи — описать метод решения сформулированной задачи в классе ограниченных управляющих воздействий для нелинейной системы с обеспечением дополнительных свойств переходных процессов. Предлагаемый метод основан на кусочно-линейной аппроксимации исходной задачи и построении стабилизирующих обратных связей для кусочно-линейных систем [9]. Структура стабилизирующей обратной связи не задается заранее, ее значения вычисляются путем решения вспомогательных задач оптимального управления.

### ПОСТАНОВКА ЗАДАЧИ

Рассмотрим динамическую систему, поведение которой при  $t \geq 0$  в области  $X \subset R^n$  описывается уравнением

$$\dot{x} = Ax + b(x)u, \quad x \in X, \quad (1)$$

где  $x = x(t)$  —  $n$ -вектор состояния системы в момент времени  $t$ ;  $A \in R^{n \times n}$  — постоянная матрица;  $b(x)$ ,  $x \in R^n$ , — достаточно гладкая  $n$ -вектор-функция;  $u = u(t) \in R$  — значение скалярного управляющего воздействия.

Будем считать, что управляющие воздействия ограничены:  $L_* \leq u(t) \leq L^*$ ,  $t \geq 0$  ( $-\infty < L_* < L^* < \infty$ ). Введем множество состояний равновесия системы (1):  $X_0 = \{x \in R^n : Ax + b(x)u_x = 0, L_* \leq u_x \leq L^*\}$ .

**Определение.** Пусть  $z \in \text{int } X_0$ ,  $z \in G \subset R^n$ . Функцию

$$u = u_z(x), \quad x \in G, \quad (2)$$

назовем дискретной (с периодом квантования  $h > 0$ ) ограниченной стабилизирующей обратной связью для состояния равновесия  $z$  системы (1) в области  $G$ , если:

- 1)  $u_z(z) = u_z$ ;
- 2)  $L_* \leq u_z(x) \leq L^*$ ,  $x \in G$ ;
- 3) замкнутая система

$$\dot{x} = Ax + b(x)u_z(x), \quad x(0) = x_0 \in G, \quad (3)$$

имеет решение  $x(t) \in G$ ,  $t \geq 0$ ;

4) траектория системы (3) представляет собой непрерывное решение уравнения  $\dot{x} = Ax + b(x)u(t)$ ,  $x(0) = x_0$ , с управляющим воздействием  $u(t) = u_z(x(kh))$ ,  $t \in [kh, (k+1)h]$ ,  $k = 0, 1, 2, \dots$ ;

5) движение  $x(t) \equiv z$ ,  $t \geq 0$ , системы (3) асимптотически устойчиво в  $G$ .

При практическом построении обратной связи целесообразно обеспечить дополнительные свойства: область  $G$  — достаточно большая и в замкнутой системе выполняются ограничения на переходный процесс:  $d_* \leq x(t) \leq d^*$ ,  $t \geq 0$ .

Для построения ограниченной стабилизирующей обратной связи будем использовать метод построения реализации оптимальных обратных связей, описанный в [6, 7]. При этом подходе структура обратной связи не задается, необходимые ее значения вычисляются в реальном времени в процессе каждого конкретного управления и естественным образом учитываются ограничения на управляющие воздействия. Предлагаемый ниже метод основан на использовании позиционных решений вспомогательных задач оптимального управления, которые вводятся с учетом ограничений исходной задачи управления.

Пусть движением материальной точки массы  $m$  управляют с помощью магнита [8] (рис. 1):

$$\begin{aligned}\dot{x}_1 &= x_2, \\ \dot{x}_2 &= -\frac{k}{m}x_1 - \frac{c}{m}x_2 + \frac{\alpha}{m} \frac{u}{(d_0 - x_1)^\gamma}.\end{aligned}\quad (4)$$

Здесь  $x_1 = x_1(t)$  — положение точки в момент времени  $t$ ,  $x_2 = x_2(t)$  — ее скорость,  $u = u(t)$  — значение управляющего воздействия.

Множество состояний равновесия системы (4) имеет вид

$$X_0 = \left\{ (x_1, x_2) : L_* \leq \frac{k}{\alpha} x_1 (d_0 - x_1)^\gamma \leq L^*, x_2 = 0 \right\}.$$

При этом  $u_z$  — решение уравнения  $\frac{k}{m}x_1 = \frac{\alpha}{m} \frac{u}{(d_0 - x_1)^\gamma}$ . Начальное состояние равновесия системы  $x_1(0) = z_1$ ,  $x_2(0) = z_2$  ( $u_z = 0$ ).

**Задача.** Перевести материальную точку из начального состояния в окрестность состояния равновесия  $g = (g_1, g_2) \in X_0$  так, чтобы не нарушалось фазовое ограничение  $d_* \leq x_1(t) \leq d^*$  (точка не должна коснуться магнита), и стабилизировать систему (4) в окрестности этого состояния, причем управляющее воздействие должно удовлетворять ограничениям  $L_* \leq u(t) \leq L^*$ ,  $t \geq 0$ .

Система (4) представляет собой частный случай системы (1)

$$x = (x_1, x_2), \quad A = \begin{pmatrix} 0 & 1 \\ -\frac{k}{m} & -\frac{c}{m} \end{pmatrix}, \quad b(x) = \begin{pmatrix} 0 \\ b_2(x_1) \end{pmatrix} = \begin{pmatrix} 0 \\ \frac{\alpha}{m(d_0 - x_1)^\gamma} \end{pmatrix}.$$

Для решения поставленной задачи введем кусочно-постоянную аппроксимацию системы (4), заменив нелинейную характеристику  $b_2(x_1)$ ,  $x_1 \in R$ , на кусочно-постоянную функцию  $f(x_1)$ ,  $x_1 \in R$ . Можно добиться сколь угодно высокой точности аппроксимации, но для начала ограничимся самой грубой. Рассмотрим область

$$G = \{(x_1, x_2) : d_* \leq x_1 \leq d^*\}, \quad (5)$$

которую разобьем на подобласти  $G_1 = \{(x_1, x_2) : d_{1*} \leq x_1 < d_1^*\}$ ,  $G_2 = \{(x_1, x_2) : d_{2*} \leq x_1 \leq d_2^*\}$ ,  $G = G_1 \cup G_2$ , где  $d_{1*} = d_* < d_1^* = d_{2*} < d_2^* = d^*$ . Положим

$$f(x_1) = \begin{cases} 0 & x_1 \in G_1 \\ f_2(x_1) & x_1 \in G_2 \end{cases}, \quad f_2(x_1) = \frac{\alpha}{m} p(x_1), \quad p(x_1) = p_1, \quad x_1 \in G_1, \quad p(x_1) = p_2, \quad x_1 \in G_2.$$

Здесь  $p_1, p_2$  — постоянные значения выбранной аппроксимации функции  $\frac{1}{(d_0 - x_1)^\gamma}$  в соответствующих областях.

Динамическую систему  $\dot{x} = Ax + f(x_1)u$  назовем линейной аппроксимацией системы (4).

#### ПЕРВЫЙ ТИП СОПРОВОЖДАЮЩЕЙ ЗАДАЧИ ОПТИМАЛЬНОГО УПРАВЛЕНИЯ

Выберем число  $\Theta$ ,  $0 < \Theta = Nh < \infty$  (параметр метода), и в классе дискретных управляющих воздействий  $u(t) = u(kh)$ ,  $t \in [kh, (k+1)h]$ ,  $k = 0, N-1$ , рассмотрим вспомогательную (сопровождающую) задачу оптимального управления

$$\begin{aligned} & \rho \rightarrow \min, \\ & \dot{x}_1 = x_2, \dot{x}_2 = -\frac{k}{m}x_1 - \frac{c}{m}x_2 + \frac{\alpha}{m}p_1 u, (x_1, x_2) \in G_1, \\ & \dot{x}_1 = x_2, \dot{x}_2 = -\frac{k}{m}x_1 - \frac{c}{m}x_2 + \frac{\alpha}{m}p_2 u, (x_1, x_2) \in G_2, \\ & x_1(0) = z_1, x_2(0) = z_2, x_1(\Theta) = g_1, x_2(\Theta) = g_2, \\ & L^* \leq u(t) \leq L^*, t \in T; |u(t) - u_z| \leq \rho, t \in T = [0, \Theta]. \end{aligned} \quad (6)$$

Пусть  $z = (z_1, z_2)$  — начальное состояние системы в задаче (6),  $u_\Theta^0(t|z)$ ,  $t \in T$ , — оптимальное программное управление задачи (6),  $X_\Theta$  — множество точек  $z \in G$ , для которых существует решение задачи (6).

**Определение.** Функцию

$$u_\Theta^0(z) = u_\Theta^0(0|z), z \in X_\Theta, \quad (7)$$

назовем оптимальным (стартовым) управлением типа обратной связи. Можно показать, что функция (7) является дискретной ограниченной стабилизирующей обратной связью для состояния  $z$ .

Рассмотрим два способа построения стабилизирующей обратной связи (7).

**Способ 1.** Пусть оптимальная траектория системы (4) на плоскости в течение времени  $\Theta_1 < \Theta$  находится в области  $G_1$ , а в оставшееся время  $\Theta - \Theta_1$  находится в области  $G_2$ . Тогда кусочно-линейная задача оптимального управления (6) в классе дискретных управляющих воздействий сводится к следующей задаче:

$$\begin{aligned} & \rho \rightarrow \min, \\ & \dot{x}_1 = x_2, \dot{x}_2 = -\frac{k}{m}x_1 - \frac{c}{m}x_2 + \frac{\alpha}{m}p_1 u, t \in [0, \Theta_1], \\ & x_1(0) = z_1, x_2(0) = z_2, x_1(\Theta_1) = d_1^*; \\ & \dot{x}_1 = x_2, \dot{x}_2 = -\frac{k}{m}x_1 - \frac{c}{m}x_2 + \frac{\alpha}{m}p_2 u, t \in [\Theta_1, \Theta], \\ & x_1(\Theta) = g_1, x_2(\Theta) = g_2; \\ & L^* \leq u(t) \leq L^*, t \in T = [0, \Theta]; |u(t) - u_z| \leq \rho, t \in T. \end{aligned} \quad (8)$$

Здесь  $\Theta_1$  — оптимальный момент перехода траектории  $x^0(t)$ ,  $t \in T$ , из области  $G_1$  в область  $G_2$ .

Используя формулу Коши для линейной системы  $\dot{x} = Ax + bu$ ,  $x(0) = x_0$

$$x(t) = F(t)x_0 + \int_0^t F(t-\tau)bu(\tau)d\tau,$$

где  $F(t)$  — фундаментальная матрица решения системы  $\dot{F} = AF$ ,  $F(0) = E$ ,  $E$  — единичная матрица, исключим из задачи (8) переменные состояния

$$\begin{pmatrix} x_1(\Theta)_1 \\ x_2(\Theta)_1 \end{pmatrix} = \begin{pmatrix} F_{11}(\Theta_1)x_1(0) + F_{12}(\Theta_1)x_2(0) + \\ + \sum_{j=1}^{N_1} u_j \frac{\alpha}{m} p_1 \int_{(j-1)h}^{jh} F_{12}(\Theta_1 - t) dt \\ \hline F_{21}(\Theta_1)x_1(0) + F_{22}(\Theta_1)x_2(0) + \\ + \sum_{j=1}^{N_1} u_j \frac{\alpha}{m} p_2 \int_{(j-1)h}^{jh} F_{22}(\Theta_1 - t) dt \end{pmatrix},$$

$$\begin{pmatrix} x_1(\Theta) \\ x_2(\Theta) \end{pmatrix} = \begin{pmatrix} F_{11}(\Theta)d_1^* + F_{12}(\Theta)F_{21}(\Theta_1)x_1(0) + F_{12}(\Theta)F_{22}(\Theta_1)x_2(0) + \\ + \sum_{j=1}^{N_1} u_j \frac{\alpha}{m} p_1 \int_{(j-1)h}^{jh} F_{12}(\Theta)F_{22}(\Theta_1 - t) dt + \\ + \sum_{j=N_1+1}^N u_j \frac{\alpha}{m} p_2 \int_{(j-1)h}^{jh} F_{12}(\Theta - t) dt \\ \hline F_{21}(\Theta)d_1^* + F_{22}(\Theta)F_{21}(\Theta_1)x_1(0) + F_{22}(\Theta)F_{22}(\Theta_1)x_2(0) + \\ + \sum_{j=1}^{N_1} u_j \frac{\alpha}{m} p_1 \int_{(j-1)h}^{jh} F_{22}(\Theta)F_{22}(\Theta_1 - t) dt + \\ + \sum_{j=N_1+1}^N u_j \frac{\alpha}{m} p_2 \int_{(j-1)h}^{jh} F_{12}(\Theta - t) dt \end{pmatrix}.$$

Здесь  $\Theta_1 = N_1\nu$  ( $N_1 < N$ ),  $N_1$  — целое число,  $F(t)$ ,  $t \geq 0$ , — фундаментальная матрица решения однородной системы

$$\dot{x}_1 = x_2, \quad \dot{x}_2 = -\frac{k}{m}x_1 - \frac{c}{m}x_2.$$

Запишем задачу (8) с учетом используемого класса доступных управляющих воздействий в эквивалентной функциональной форме

$$\begin{aligned} \rho \rightarrow \min, \quad (9) \\ F_{11}(\Theta)d_1^* + F_{12}(\Theta)F_{21}(\Theta_1)x_1(0) + F_{12}(\Theta)F_{22}(\Theta_1)x_2(0) + \\ \sum_{j=1}^{N_1} u_j \frac{\alpha}{m} p_1 \int_{(j-1)h}^{jh} F_{12}(\Theta)F_{22}(\Theta_1 - t) dt + \\ \sum_{j=N_1+1}^N u_j \frac{\alpha}{m} p_2 \int_{(j-1)h}^{jh} F_{12}(\Theta - t) dt = g_1, \\ F_{21}(\Theta)d_1^* + F_{22}(\Theta)F_{21}(\Theta_1)x_1(0) + F_{22}(\Theta)F_{22}(\Theta_1)x_2(0) + \\ \sum_{j=1}^{N_1} u_j \frac{\alpha}{m} p_1 \int_{(j-1)h}^{jh} F_{22}(\Theta)F_{22}(\Theta_1 - t) dt + \sum_{j=N_1+1}^N u_j \frac{\alpha}{m} p_2 \int_{(j-1)h}^{jh} F_{12}(\Theta - t) dt = g_2, \\ L_* \leq u_j \leq L^*, \quad j = \overline{1, N}; \quad |u_j - u_z| \leq \rho, \quad j = \overline{1, N}. \end{aligned}$$

В задаче оптимального программного управления (9) все элементы известны, и поэтому для начального состояния  $z = (z_1(0), z_2(0))$  она может быть заранее решена любым методом без учета затрат машинного времени. Однако, имея в виду последующий синтез, задачу (9) целесообразно решить аддитивным (прямым или двойственным) методом [10], который кроме оптимального программного управле-

ния  $u_h^0(t|z)$ ,  $t \in T$ , доставляет оптимальную опору  $K_{on}^0(0)$  — важный элемент для реализации оптимального управления типа обратной связи.

Опишем алгоритм реализации оптимальной обратной связи. В соответствии с (7) значение  $u_h^0(0|z)$  используем в качестве начального сигнала  $u^*(t)$ ,  $u_h^*(0)=u_h(z)$  стабилизирующей обратной связи на промежутке времени  $[0, h]$ . Предположим, что стабилизатор проработал на промежутке времени  $[0, \tau = lh]$  и замкнутая система в текущий момент времени  $\tau$  оказалась в состоянии  $x^*(\tau) \in G_1$ .

**Замечание.** Если  $x^*(\tau) \in G_2$ , то текущее значение обратной связи вычисляется по линейной модели, т.е. задача (9) упрощается и принимает вид

$$\rho \rightarrow \min, \quad (10)$$

$$\begin{aligned} F_{11}(\Theta)x_1(0) + F_{12}(\Theta)x_2(0) + \sum_{j=1}^N u_j \frac{\alpha}{m} p_2 \int_{(j-1)h}^{jh} F_{12}(\Theta-t) dt &= g_1, \\ F_{21}(\Theta)x_1(0) + F_{22}(\Theta)x_2(0) + \sum_{j=1}^N u_j \frac{\alpha}{m} p_2 \int_{(j-1)h}^{jh} F_{22}(\Theta-t) dt &= g_2, \\ L_* \leq u_j \leq L^*, \quad j = \overline{1, N}; \quad |u_j - u_z| \leq \rho, \quad j = \overline{1, N}. \end{aligned}$$

Чтобы вычислить текущее значение  $u_h(x^*(\tau))$  стабилизирующей обратной связи, стабилизатору необходимо решить задачу (9) с начальным состоянием  $x^*(\tau)$  и учесть, что в предыдущий момент  $\tau - h$ , когда система (4) находилась в состоянии  $x^*(\tau - h)$ , стабилизатор уже решил задачу (9) с начальным состоянием  $x^*(\tau - h)$ , построив оптимальную опору  $K_{\text{оп}}^0(\tau - h)$  и вычислив оптимальный момент перехода  $\Theta_1^0(\tau - h)$ . Задача (9) для соседних моментов  $\tau$  и  $\tau - h$  отличается только начальными условиями  $x^*(\tau)$ ,  $x^*(\tau - h)$  и это отличие тем меньше, чем меньше  $h$ . Поэтому наиболее эффективным методом решения задачи (9) с начальным состоянием  $x^*(\tau)$  является двойственный метод коррекции опоры  $K_{\text{оп}}^0(\tau - h)$ , если дополнить его оптимизацией по параметру  $\Theta_1$ , которую можно осуществить направленным перебором, начиная со значения  $\Theta_1^0(\tau - h)$ . Построив решение  $u_h^0(t|x^*(\tau))$ ,  $t \in [0, \Theta]$ ,  $K_{\text{оп}}^0(\tau)$  задачи (9) с начальным состоянием  $x^*(\tau)$ , получим реализацию  $u^*(\tau) = u_h^0(x^*(\tau)) = u_h^0(0|x^*(\tau))$  обратной связи на промежутке  $[\tau, \tau + h]$ . Если время, необходимое для коррекции опоры  $K_{\text{оп}}^0(\tau - h)$ , а значит и для вычисления  $u^*(\tau)$ , не превосходит  $h$ , то можно говорить о решении задачи регулирования системы (4) в режиме реального времени.

По описанной выше схеме была решена задача регулирования для системы (4). При решении задачи выбраны следующие значения параметров системы [8]:  $\alpha = 4.5 \cdot 10^{-5}$ ,  $\gamma = 1.99$ ,  $c = 0.6590$ ,  $k = 38.94$ ,  $d_0 = 0.0102$ ,  $m = 1.54$ . Фундаментальная матрица  $F(t)$  при выбранных параметрах системы имеет вид

$$\begin{aligned} F(t) &= \begin{pmatrix} F_{11} & F_{12} \\ F_{21} & F_{22} \end{pmatrix} = \\ &= \begin{pmatrix} e^{-s_1 t} \cos(s_2 t) + s_3 e^{-s_1 t} \sin(s_2 t) & \frac{1}{s_2} e^{-s_1 t} \sin(s_2 t) \\ -s_4 e^{-s_1 t} \sin(s_2 t) & e^{-s_1 t} \cos(s_2 t) - s_3 e^{-s_1 t} \sin(s_2 t) \end{pmatrix}, \\ \text{где } s_1 &= \frac{659}{3080}, \quad s_2 = \frac{\sqrt{239436119}}{3080}, \quad s_3 = \frac{659}{\sqrt{239436119}}, \quad s_4 = \frac{77880}{\sqrt{239436119}}. \end{aligned}$$

В качестве заданного состояния равновесия взято  $g = (0.0078, 0)$ . Ему соответствует управляющее воздействие  $u_z = \frac{k}{\alpha} 0.0078 (d_0 - 0.0078)^\gamma$ , на которое наложено ограничение  $0 \leq u(t) \leq 0.3$ ,  $t \geq 0$ . При решении задачи была выбрана следующая аппроксимация функции  $p(x_1)$ :

$$p(x_1) = \begin{cases} 22017, & x_1 \in G_1 = \{(x_1, x_2) : 0 \leq x_1 < 0.006\}, \\ 163000, & x_1 \in G_2 = \{(x_1, x_2) : 0.006 \leq x_1 \leq 0.008\}. \end{cases}$$

На рис. 2 представлены положения материальной точки в процессе регулирования, а на рис. 3 — значения соответствующей обратной связи. (Границные значения обозначены штриховой линией.) Кривые 1 соответствуют оптимальной траектории и оптимальным значениям обратной связи, вычисленным способом 1. Для решения задачи (9) выбраны следующие параметры метода:  $\Theta = 0.6$ ,  $N = 20$ , а для задачи (10) — параметры  $\Theta = 0.15$ ,  $N = 20$ . Полученные результаты показывают, что хотя при решении воспомогательной линейной задачи фазовые ограничения  $0 < x_1(t) < 0.008$ ,  $t \geq 0$ , не учитывались, предложенный метод обеспечивает их выполнение для исходной нелинейной системы (4) за счет выбора аппроксимации нелинейной системы и параметров сопровождающей задачи.

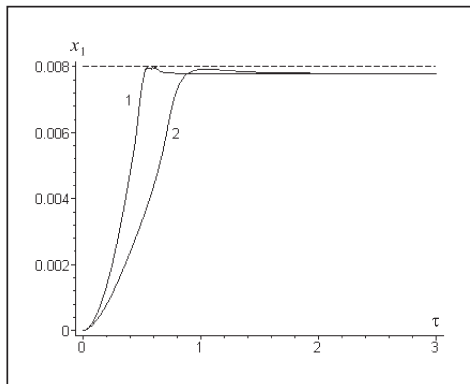


Рис. 2. Оптимальные траектории  $x_1$  системы в процессе регулирования

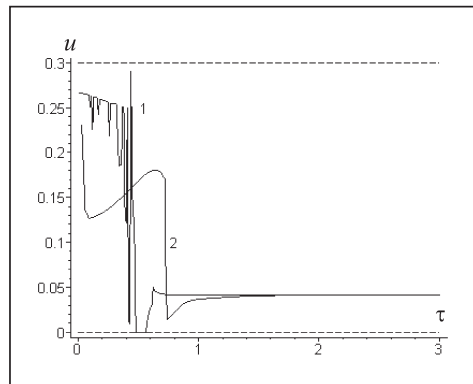


Рис. 3. Реализуемые значения обратной связи для задачи первого типа

**Способ 2.** Для решения поставленной задачи регулирования будем отдельно стабилизировать систему (4) на границе каждой области  $G_1, G_2$ , используя границу первой области  $G_1$  в качестве промежуточного состояния равновесия для стабилизации системы на всей области  $G$ .

Предположим, что оптимальная траектория  $x^0(t)$ ,  $t \geq 0$ , системы (4) проходит только по первой области,  $x^0(t) \in G_1$ ,  $t \geq 0$ . Состояние  $z = (d_1^*, 0)$  является состоянием равновесия системы, ему соответствует значение  $u_z = \frac{k}{\alpha} \frac{d_1^*}{p_1}$ . Для построения стабилизирующей обратной связи в этой области используем решение следующей сопровождающей задачи оптимального управления:

$$\begin{aligned} \rho &\rightarrow \min, && (11) \\ F_{11}(\Theta)x_1(0) + F_{12}(\Theta)x_2(0) + \sum_{j=1}^N u_j \frac{\alpha}{m} p_1 \int_{(j-1)h}^{jh} F_{12}(\Theta-t) dt &= d_1^*, \\ F_{21}(\Theta)x_1(0) + F_{22}(\Theta)x_2(0) + \sum_{j=1}^N u_j \frac{\alpha}{m} p_1 \int_{(j-1)h}^{jh} F_{22}(\Theta-t) dt &= 0, \\ L_* \leq u_j \leq L^*, & j = \overline{1, N}; |u_j - u_z| \leq \rho, & j = \overline{1, N}. \end{aligned}$$

После того как оптимальная траектория  $x^0(t)$ ,  $t \geq 0$ , системы (4) окажется в области  $G_{2\varepsilon} = \{(x_1, x_2) : d_1^* - \varepsilon \leq x_1 \leq g_1\}$ ,  $\varepsilon > 0$ , перейдем к стабилизации состояния  $z = (g_1, g_2)$ . Для построения соответствующей стабилизирующей обратной связи используем решение второй сопровождающей задачи:

$$\begin{aligned} \rho &\rightarrow \min, & (12) \\ F_{11}(\Theta)x_1(0) + F_{12}(\Theta)x_2(0) + \sum_{j=1}^N u_j \frac{\alpha}{m} p_2 \int_{(j-1)h}^{jh} F_{12}(\Theta-t) dt &= g_1, \\ F_{21}(\Theta)x_1(0) + F_{22}(\Theta)x_2(0) + \sum_{j=1}^N u_j \frac{\alpha}{m} p_2 \int_{(j-1)h}^{jh} F_{22}(\Theta-t) dt &= g_2, \\ L_* \leq u_j \leq L^*, \quad j = \overline{1, N}; \quad |u_j - u_z| \leq \rho, \quad j = \overline{1, N}; \quad \left( u_z = \frac{k}{\alpha} \frac{g_1}{p_2} \right). \end{aligned}$$

Алгоритм работы регулятора в областях  $G_1$  и  $G_2$  аналогичен описанному выше.

На рис. 2, 3 представлены результаты расчетов для системы (4). Кривые 2 соответствуют оптимальному положению материальной точки и значениям обратной связи, полученным способом 2. При этом были выбраны следующие параметры сопровождающих задач: в области  $G_1$ :  $\Theta = 0.6$ ,  $N = 20$ ; в области  $G_2$ :  $\Theta = 0.15$ ,  $N = 20$ .

Как показывают проведенные расчеты, оба способа регулирования являются достаточно эффективными. Все дальнейшие расчеты были проведены на основе способа 2.

Поставленная задача регулирования была решена при различных аппроксимациях нелинейной функции в области  $G_2$ . Кривая 1 соответствует

$$p(x_1) = \begin{cases} 22017, & x_1 \in G_1, \\ 163000, & x_1 \in G_2, \end{cases}$$

$$\text{кривая 2 соответствует } p(x_1) = \begin{cases} 22017, & x_1 \in G_1, \\ 160000, & x_1 \in G_2. \end{cases}$$

В первом случае нелинейная системы (4) стабилизируется в состоянии  $(0.0078, 0)$ , во втором — в состоянии  $(0.00792, 0)$ .

В работе [8] для системы (4) была построена ограниченная стабилизирующая связь для состояния  $(0.0074, 0)$ . С целью сравнения с результатами работы [8] стабилизирующая обратная связь была реализована изложенным выше методом для  $r = 0.0074$ . В этом случае в качестве  $G$  была рассмотрена область

$$G = \{(x_1, x_2) : 0 \leq x_1 \leq 0.0074\}, \quad G = G_1 \cup G_2,$$

$$G_1 = \{(x_1, x_2) : 0 \leq x_1 < 0.006\}, \quad G_2 = \{(x_1, x_2) : 0.006 \leq x_1 \leq 0.0074\}.$$

В каждой области выбрана следующая аппроксимация нелинейной системы (1):  $f(x_1) = \frac{\alpha}{m} p(x_1)$ ,  $p(x_1) = 22017$ ,  $x_1 \in G_1$ ;  $p(x_1) = 120269$ ,  $x_1 \in G_2$ .

Сравним результаты работы [8] с результатами, полученными в настоящей статье.

На рис. 4 показаны оптимальные траектории замкнутой системы, представленные в работе [8] (кривая 1) и построенные изложенным выше методом (кривая 2). Они соответствуют положению материальной точки для состояния равновесия  $(0.0074, 0)$ . Для сравнения показана траектория замкнутой системы для состояния  $(0.0078, 0)$  (кривая 3).

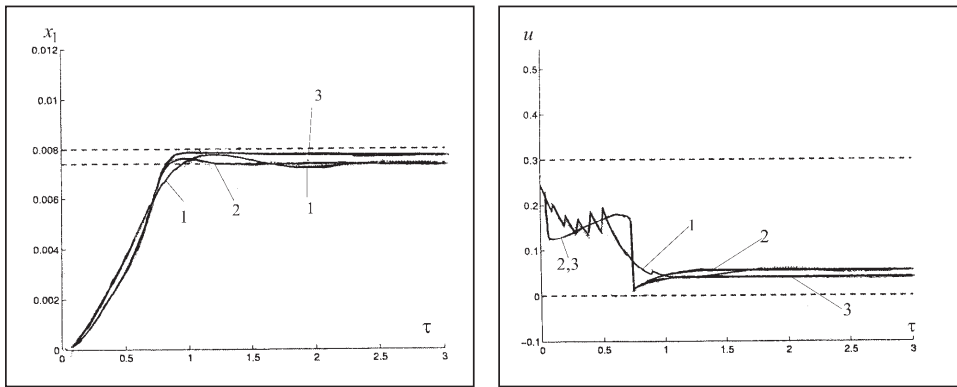


Рис. 4. Оптимальные траектории  $x_1$  системы для задачи второго типа, полученные в [8] (1) и изложенные в настоящей статье (2)

Рис. 5. Значения обратной связи, полученные в работе [8] (1) и изложенные в настоящей статье (2)

На рис. 5 приведены значения обратной связи для состояния равновесия (0.0074,0), полученные в работе [8] в процессе управления (кривая 1), и значения обратной связи, полученные изложенными выше методами (кривая 2). Для сравнения показана траектория замкнутой системы для состояния (0.0078,0) (кривая 3).

В работе [8] для состояния равновесия (0.0074,0) построено множество начальных состояний системы (4), для которых удалось решить поставленную задачу. Использованные в настоящей работе методы оптимального управления позволили существенно увеличить это множество.

## ВТОРОЙ ТИП СОПРОВОЖДАЮЩЕЙ ЗАДАЧИ ОПТИМАЛЬНОГО УПРАВЛЕНИЯ

Изменим тип сопровождающей задачи оптимального управления и построим стабилизирующую обратную связь, используя способ 1. Вместо задачи (6) используем сопровождающую задачу минимизации полного импульса управляющего воздействия, которая имеет вид

$$\int_0^\Theta |u(t) - u_z| dt \rightarrow \min, \quad (13)$$

$$\dot{x}_1 = x_2, \quad \dot{x}_2 = -\frac{k}{m}x_1 - \frac{c}{m}x_2 + \frac{\alpha}{m}p_1 u, \quad (x_1, x_2) \in G_1,$$

$$\dot{x}_1 = x_2, \quad \dot{x}_2 = -\frac{k}{m}x_1 - \frac{c}{m}x_2 + \frac{\alpha}{m}p_2 u, \quad (x_1, x_2) \in G_2,$$

$$x_1(0) = z_1, \quad x_2(0) = z_2, \quad x_1(\Theta) = g_1, \quad x_2(\Theta) = g_2,$$

$$L_* \leq u(t) \leq L^*, \quad t \in T = [0, \Theta].$$

Алгоритм реализации оптимальной обратной связи аналогичен описанному выше.

Сравним полученные результаты с работой [8]. На рис. 6, 7 показаны оптимальные траектории замкнутой системы и реализовавшиеся значения обратной связи, построенные изложенным выше методом и представленные в работе [8]. Кривые 2 соответствуют положению материальной точки и значениям обратной связи в [8] для состояния равновесия (0.0074; 0), кривые 1 — положению материальной точки и значениям обратной связи, полученным в результате решения вспомогательной задачи (13) для (0.0078; 0).

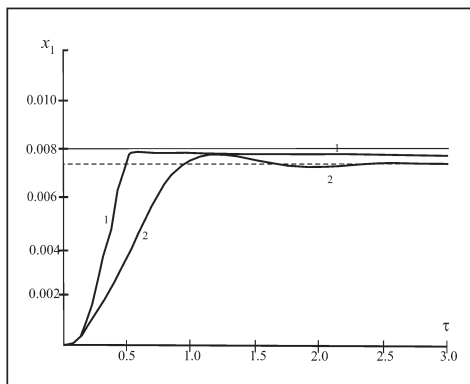


Рис. 6. Положения материальной точки в процессе регулирования при использовании задачи (13)

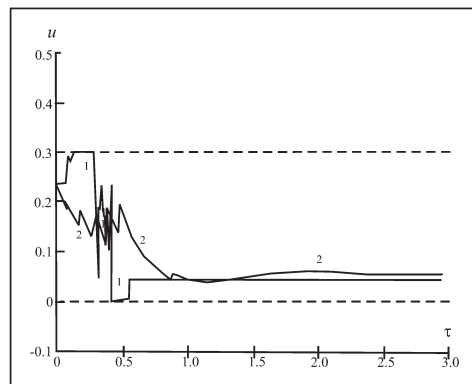


Рис. 7. Полученные значения обратной связи при использовании задачи (13)

Таким образом, сравнительный анализ полученных в данной статье результатов с результатами [8] для системы (4) показывает эффективность предложенного метода реализации дискретной обратной связи для задачи регулирования, которая позволяет существенно улучшить переходные процессы в системе и достичь гораздо большей области притяжения состояния равновесия.

#### СПИСОК ЛИТЕРАТУРЫ

1. Айзerman M. A. Лекции по теории автоматического регулирования. — М.: Физматгиз, 1958. — 520 с.
2. Барбашин Е. А. Введение в теорию устойчивости. — М.: Наука, 1967. — 224 с.
3. Красовский Н. Н. Некоторые проблемы стабилизации теории движения. — М.: Физматгиз, 1959. — 523 с.
4. Kwon W. N., Pearson A. E. A modified quadratic cost problem and feedback stabilization of a linear system // IEEE Trans. Automat. Contr. — 1977. — **22**. — Р. 838–842.
5. Mayne D. Q., Michalska H. Receding control of nonlinear systems // Ibid. — 1990. — **35**. — Р. 814–824.
6. Габасов Р., Кириллова Ф. М., Ружицкая Е. А. Решение классической задачи регулирования методами оптимального управления // АиТ. — 2001. — № 6. — С. 18–29.
7. Габасов Р., Кириллова Ф. М., Ружицкая Е. А. Демпфирование и стабилизация маятника при больших начальных возмущениях // Изв. РАН. Техн. кибернетика. — 2001. — № 1. — С. 29–38.
8. Gilbert E.G., Kolmanovsky I. A generalized reference governor for nonlinear systems / Proc. of the 40th IEEE Conf. on Decision and Control, Orlando, Florida USA, December 4-7, 2001. — Р. 4222–4227.
9. Габасов Р., Кириллова Ф. М. Оптимальное управление в режиме реального времени / Вторая международная конференция по проблемам управления (17–19 июня 2003 года): Пленарные доклады. — М.: Ин-т проблем управления, 2003. — С. 20–47.
10. Габасов Р., Кириллова Ф. М., Тятушкин А. И. Конструктивные методы оптимизации. Ч. 1. Линейные задачи. — Минск: Университетское, 1984. — 214 с.

Поступила 07.02.2007